

آنالیز آماری زوایای میل اسپیکول و تغییرات ضخامت کروموسفر

اعظم ملاطایفه^۱* و احسان توابی^۲

۱. دانشجوی دکتری، گروه فیزیک، دانشگاه پیام نور، تهران، ایران
۲. دانشیار، گروه فیزیک، دانشگاه پیام نور، تهران، ایران

(دریافت: ۱۴۰۰/۶/۴، پذیرش نهایی: ۱۴۰۱/۷/۱۲)

چکیده

اسپیکول‌ها (Spicules) به طور متداول بالای فوران‌های سطح خورشید در حال افزایش هستند. جت‌های فرابخشش تند (Extreme Ultra Violet) نیز بالای لایه‌ها گزارش شده‌اند. تغییرات جهت‌گیری اسپیکول در عرض جغرافیایی خورشیدی که احتماً انکاس‌دهنده فوران‌های فریزشده در خطوط میدان مغناطیسی کرونایی مجاورند، یک پارامتر مهم برای درک خصوصیات دینامیکی آنهاست. تعداد زیادی از تصاویر با وضوح بالا از اسپیکول‌های لبه در خطوط نشری کلسیم دوبار یونیده در خط H از مأموریت تلسکوپ نوری خورشیدی (Hinode) در دسترس قرار گرفته است. به علاوه، تبدیل هاف برای انجام تحلیل آماری جهت‌گیری اسپیکول در مناطق مختلف اطراف لبه خورشیدی، از قطب تا استوا، به تصاویر اعمال شده است. نتایج نشان می‌دهد در طی کمینه فعالیت مغناطیسی خورشیدی (سال‌های ۲۰۰۷ و ۲۰۰۸) مصادف با سال‌های ابتدایی مأموریت فضایی تلسکوپ هینوده (Solar Optical Telescope) سوار بر فضایی هینوده (Solar Optical Telescope) هرچه از استوا به سمت قطب‌ها پیش می‌رویم، زوایه میل اسپیکول‌ها کوچک‌تر می‌شود و طول آنها بلندتر بمنظر می‌رسد. درنتیجه می‌توان گفت که کروموسفر در این حالت نسبت به بیشینه فعالیت خورشیدی ضخیم‌تر است. در صورتی که اسپیکول‌ها در چاله‌های کرونایی قطبی به طور قابل توجهی مایل می‌شوند (زاویه میل بزرگ‌تر) و ضخامت ناحیه کروموسفر و حتی ناحیه انتقال نازک‌تر خواهد شد. در حالی که فعالیت‌های بزرگ‌مقیاس با طول عمر کوتاه نقش چندانی در ضخامت کروموسفر نداشتند و برای اندازه‌گیری‌های بلندمدت با میانگین‌گیری حذف می‌شوند. بیشترین جمعیت آماری اسپیکول‌ها در کمینه فعالیت خورشیدی در نواحی قطبی و در عرض‌های پایین‌تر، مربوط به اسپیکول‌ها با زوایای میل بزرگ‌تر است. درحالی که در دوره بیشینه چرخه خورشیدی نتیجه معکوس انتظار می‌رود که دلیلی توپولوژیکی برای پهن شدن کروموسفر در حداقل فعالیت خورشیدی ارائه می‌دهد.

واژه‌های کلیدی: کروموسفر، کرونای خورشیدی، چاله کرونایی، چرخه خورشیدی، پهن شدن کروموسفر، تبدیل هاف.

۱. مقدمه

پژوهشگران به طور مستقیم جهت‌گیری اسپیکول را به میدان مغناطیسی کرونایی فریزشده مرتبط می‌دانند. اوچر و همکاران (۱۹۹۸) و فیلیپوف و همکاران (۲۰۰۷) ادعا کردند که این مسئله می‌تواند مربوط به اثر پهن شدن کروموسفری باشد که به خوبی در خطوط سرد برخوردی کروموسفری مانند خطوط $H\alpha$ و $H\text{CaII}$ مشاهده شده است (جوهانسون و زیرین، ۱۹۹۶) اما در خطوط برانگیخته تابشی HeI مشاهده نشد (فیلیپوف و کوچمی، ۲۰۰۰). به دنبال پیشنهادی از سوئاماتسو و تاکوچی (۱۹۹۱)، دیونشیو و همکاران (۲۰۰۴) ادعا کردند که بین انحراف لوله‌های شار مغناطیسی و تونل زنی P مدهای فوتوفرمی با فرکانس پایین رابطه‌ای وجود دارد که فراتر

به نظر می‌رسد منشأ گرمایش جو بالای خورشید و اتلاف Coronal holes (CHs) مستقیماً به رفتار دینامیکی اسپیکول‌های خورشیدی ارتباط دارد؛ یا به عبارت بهتر، مناطقی که دارای ساختار کشیده شده با اسپیکول‌های غول یا ماکرواسپیکول‌ها و اسپیکول‌های جت‌مانند (کوچمی و لوسيف، ۱۹۹۱؛ کوچمی و همکاران، ۱۹۹۸) هستند؛ همان‌طور که این تئوری اخیراً نیز توسط بسیاری از محققان، به عنوان مثال، استرلینگ و همکاران (۲۰۱۵)، با توجه به همددهای جت اشعه ایکس نرم، SXR (Soft X-Ray) از این پدیده‌های دینامیکی مهم ارائه شده است. فیلیپوف و کوچمی (۲۰۰۰)، لوریان و کوچمی (۱۹۹۸) و بسیاری دیگر از

کروموسفر در دوران کمینه فعالیت خورشیدی بیشتر و در دوران بیشینه فعالیت خورشیدی شاهد ضخامت کمتری هستیم. برجستگی‌های دیسک می‌تواند با نشان دادن مشکلات هم‌زمان در نظر گرفتن ساختارهای دمایی مختلف در هم‌آمیخته در ارتباط باشد، مشکلی که در این تحقیق حل نخواهد شد.

شکل ۱ انبویی از ماکرواسپیکول‌های هلیوم دوبار یونیده در طول موج ۳۰۴ آنگستروم را به صورت یک لایه ضخیم گسترش یافته به سمت پوسته کرونا نشان می‌دهد. همچنین اسپیکول با حاشیه نازک در جذب لبه را در طول موج‌های ۱۹۳ آنگستروم و ۱۷۱ آنگستروم با بسیاری برجستگی‌های جدید در نشر عبوری از لبه، از جمله جت‌های کوتاه و بلند و برآمدگی‌های جزئی نشان می‌دهد.

تعدادی از محققین (مرادیان، ۱۹۶۵؛ بکرز، ۱۹۶۸؛ استرلینگ، ۲۰۰۰؛ پاساخوف و همکاران، ۲۰۰۹؛ توایی و همکاران، ۲۰۱۱؛ الف و دیگران) پارامترهای فیزیکی خطوط نشری کم‌تحریک اسپیکول‌ها را بر اساس اندازه‌گیری‌های خارج از دیسک از ساختارهای خطی در یک زاویه ظاهری شناخته شده مربوط به موضع عمودی خورشیدی ذکر کرده‌اند (مشر و پاپ، ۱۹۷۷؛ کوچمی و لوسيف، ۱۹۹۱). آنها دریافتند که فراوان‌ترین زاویه میل در محدوده ۲۰ تا ۴۵ درجه است و میانگین زاویه میل مناسب برای اندازه‌گیری‌های عرض‌های کوچک‌تر از ۷۰ درجه، حدود ۳۶ درجه است. اینها تا حدی بزرگ‌تر از توزیع‌های یافت شده توسط بکرز (۱۹۶۸) است که تغییرات عمودی ۲۰ درجه را در یک عرض ۶۰ درجه می‌دهد. وان دی هولست (۱۹۵۳) از مشاهدات کسوف، نتوانست زاویه میل میانگین را مشخص کند. هریستچی و مرادیان (۱۹۹۲)، دریافتند که میانگین زاویه میل حول محور تقارن ۲۹ درجه است و به طور میانگین اسپیکول تمایل به خم شدن به سمت استوا دارد. اخیراً پاساخوف و همکاران (۲۰۰۹) اندازه‌گیری‌هایی نزدیک به دوره کمینه فعالیت خورشیدی را ثبت کرده و شب ۲۷ درجه را با پراکندگی ۵ درجه یافته‌اند، در حالی که اندازه‌گیری‌های

از حد کافی در حمل شار انرژی به کرونا و ناحیه انتقال است. این مکانیزم برای خطوط میدان خم شده نسبت به آنچه در CH با خطوط میدان باز به سمت کرونا دیده می‌شود، بهتر عمل می‌کند. به طور کلاسیک، پذیرفته شده است که کمتر از یک درصد جرم اسپیکول در واقع به سمت کرونا منتقل می‌شود و این برای جبران اتفاق جرم سریع باد خورشیدی واقع در چاله‌های کرونا نیای کافی است (آتایی، ۱۹۸۶ و ویلهلم و همکاران، ۲۰۱۱)، جایی که اسپیکول‌ها تقریباً عمودی و بلندتر از اسپیکول‌های آرام‌تر خارج از CH هستند.

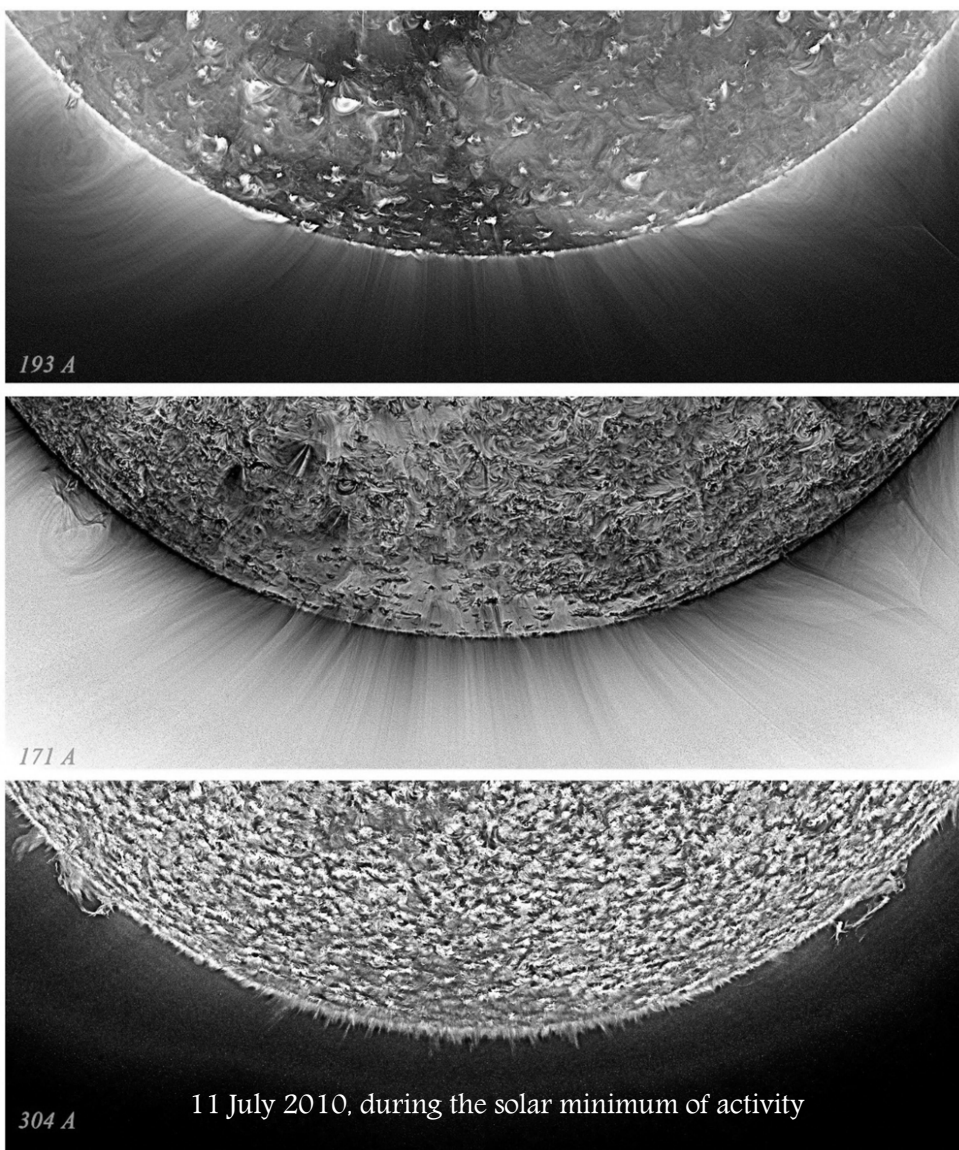
اعتقاد بر این است که اسپیکول‌های غول‌پیکر و ماکرواسپیکول‌ها گاهی اوقات یک جت EUV و حتی یک جت SXR برای CH قطبی می‌دهند (کوچمی و همکاران، ۱۹۹۸) که در صورت آزادسازی انرژی کافی حاصل از انرژی آزاد میدان مغناطیسی کرونا نیای قابل توضیح است. مقالات فیلیپوف و همکاران، ۲۰۱۳ و مور و همکاران، ۲۰۱۵ را برای پردازش اتفاقات در نزدیکی نقطه صفر مغناطیسی، از جمله رویدادهای اتصال مجدد می‌توان مشاهده کرد.

شکل‌های ۱ تا ۳ در هم‌آمیختگی پوسته‌های کروموسفر و ناحیه انتقال را در ناحیه قطب جنوب با اجزای مختلف به طور هم‌زمان نشان می‌دهد که با استفاده از بهترین تصاویر موجود EUV توسط تلسکوپ AIA (Atmospheric Imaging Assembly) از مأموریت رصدخانه دینامیکی خورشیدی SDO (Solar Dynamics Observatory) به ترتیب در سال‌های: ۲۰۱۰ در دوران کمینه فعالیت خورشیدی، ۲۰۱۴ در دوران بیشینه فعالیت خورشیدی و ۲۰۱۷ نیز در کمینه فعالیت خورشیدی گرفته شده‌اند. در این تصاویر تفاوت اسپیکول‌ها در خطوط طیفی گرم در طول موج‌های: Å ۱۷۱، ۱۹۳ و ۳۰۴ مربوط به آهن ۱۱ بار یونیده و Å ۲۹۰ مربوط به آهن ۱۴ بار یونیده و خط سرد Å ۳۰۴ مربوط به هلیوم ۲ بار یونیده قابل مشاهده است. مقیاس برای همه تصاویر یکسان در نظر گرفته شده است. همان‌طور که در تصاویر نیز مشهود است، ضخامت

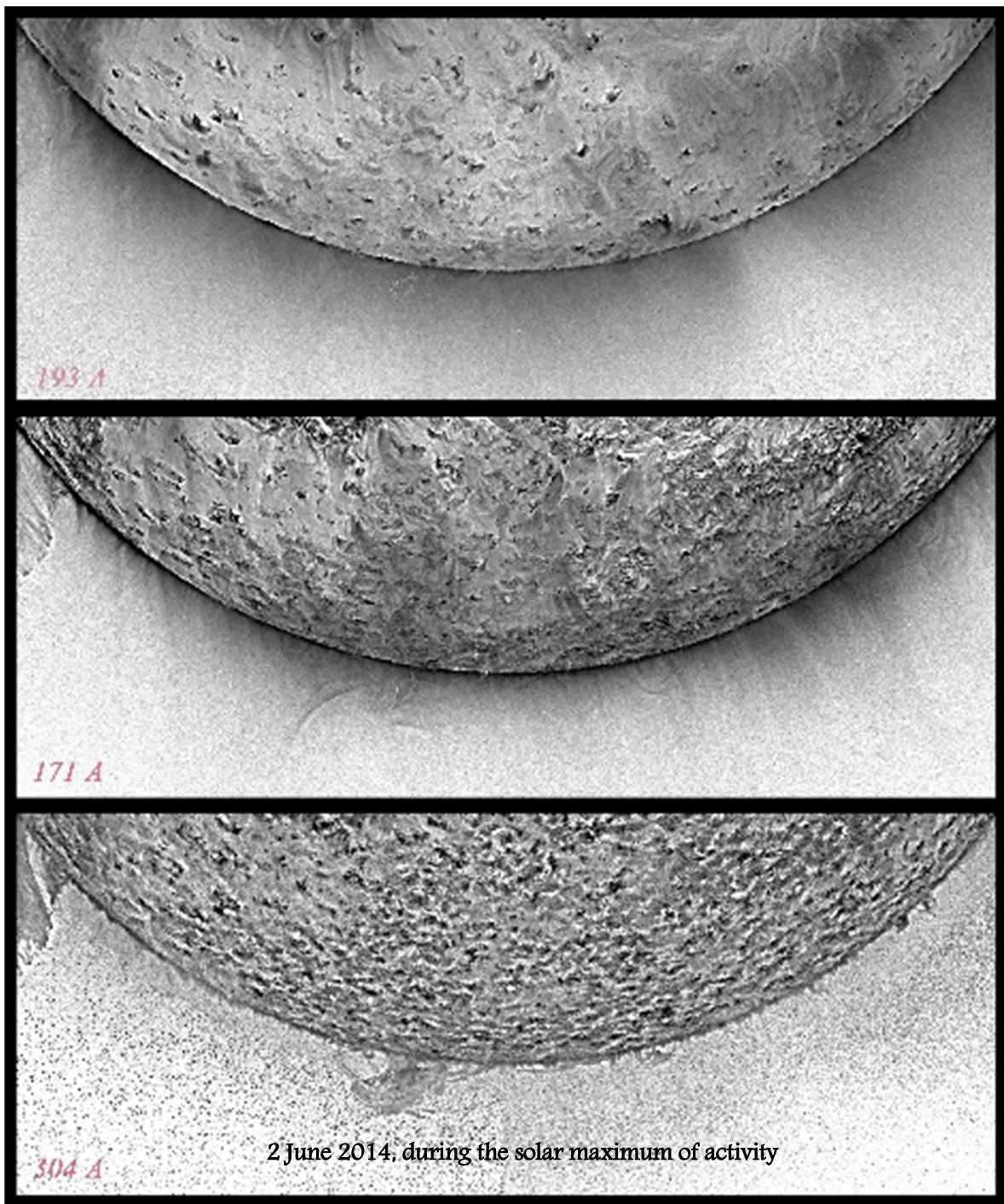
خط دید مشاهده می‌شوند، تأثیر می‌پذیرند و این تأثیر وقتی به نزدیکی لبه خورشید نگاه می‌کنیم، مشهودتر خواهد بود؛ بررسی مدل این تأثیر در مقاله توابی و همکاران (۲۰۱۱ ب) در دسترس است. در شرایطی که ماکرواسپیکول‌ها به خوبی توسط AIA با استفاده از فیلتر ۳۰۴ ثبت تابش‌های خط تشدید هلیوم دوبار یونیده تصویربرداری شده است، یک اثر اضافی به دلیل ضخامت نوری خط، بهویژه روی دیسک و همچنین بالای لبه در پوسته داخلی کروموسفر به وجود می‌آید (شکل ۱).

هریستچی و مرادیان در سال ۱۹۷۰ و در دوره بیشینه فعالیت خورشیدی انجام گرفته شده است.

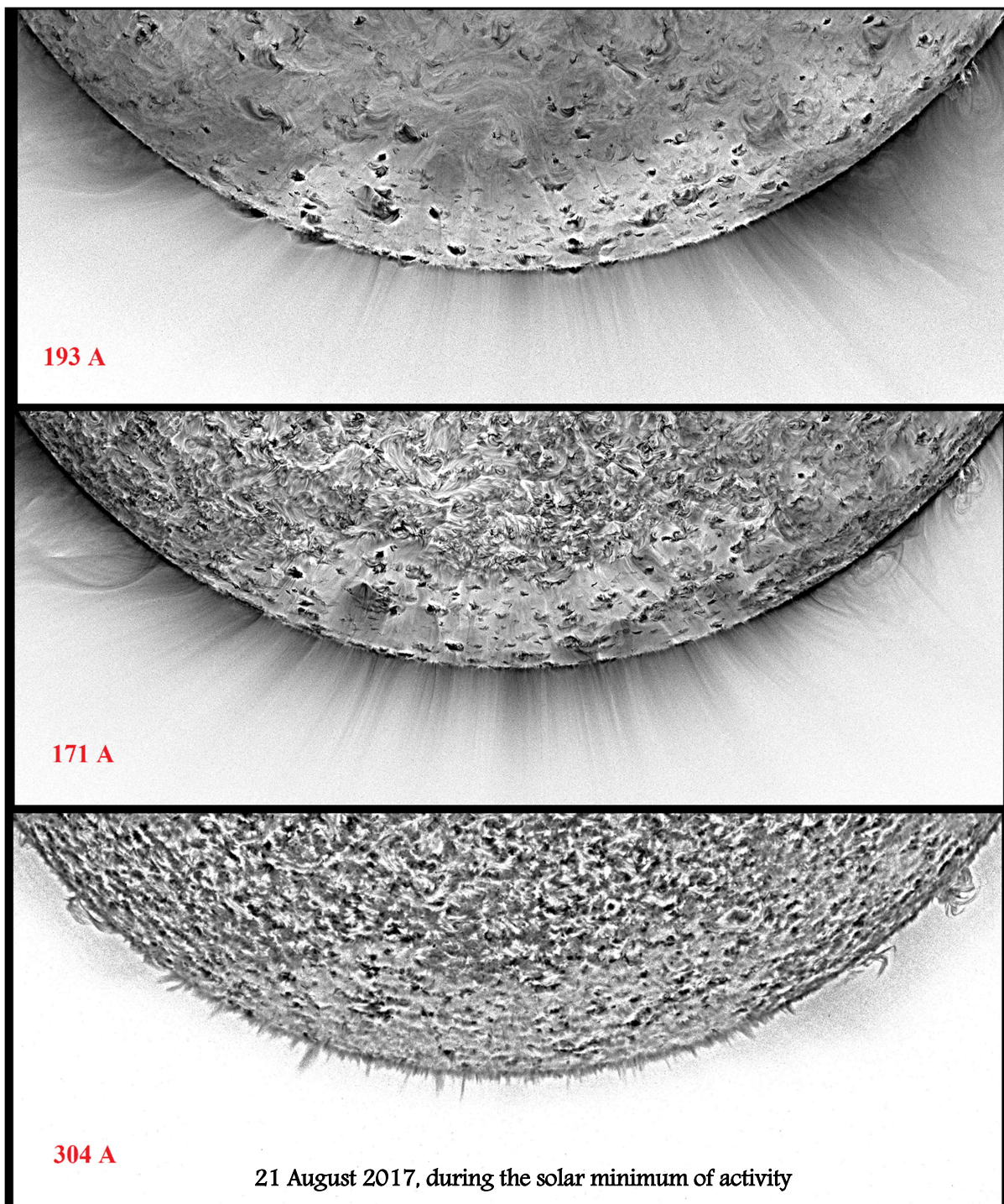
جهت‌گیری اسپیکول‌ها یک پارامتر مهم در غیاب اندازه‌گیری‌های مستقیم میدان مغناطیسی با وضوح مکانی کافی در ناحیه کروموسفر است زیرا احتمالاً به وسیله شاره فریزشده پلاسمای تعیین می‌شود که باید در امتداد خطوط میدان مغناطیسی بهویژه جایی که فشار میدان مغناطیسی خورشیدی بر فشار گاز غلبه دارد، رخ دهد. البته، همه این اندازه‌گیری‌ها از اثر همپوشانی اسپیکول‌ها که در امتداد هر



شکل ۱. تصویر ماکرواسپیکول‌های ناحیه قطب جنوب در زمان خورشیدگرفتگی کامل در ۱۱ ژوئیه ۲۰۱۰ توسط تلسکوپ AIA از ماموریت SDO از جت‌های نشری در طولموج‌های: $\text{Å} 171$ مربوط به FeXI و $\text{Å} 193$ مربوط به FeXIV و $\text{Å} 304$ مربوط به HeII. برای بهبود نسبت سیگنال به نویز، شست فریم متوالی در حدود ساعت UT ۱۸:۴۵ جمع شده‌اند و برای بهبود کنتراست بر جستگی‌های لبه، از یک نمایشگر ورود به سیستم با پردازش تصویر ثانویه استفاده شد.



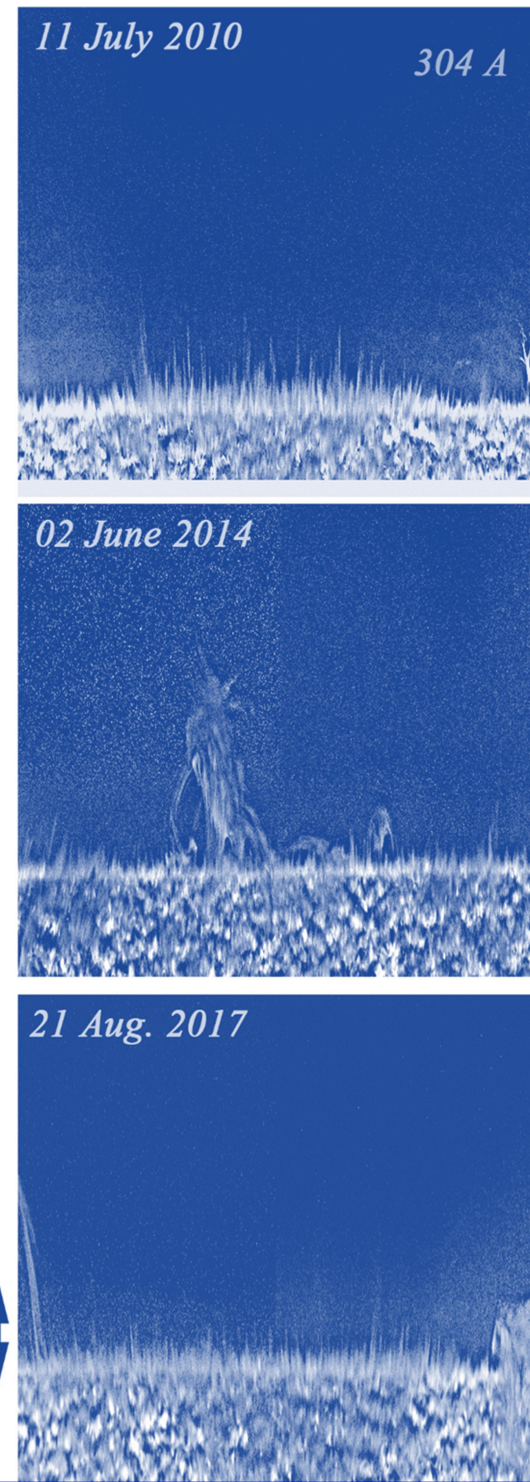
شکل ۲. تصویر گرفته شده در ۲ ژوئن ۲۰۱۴ در دوران بیشینه فعالیت خورشیدی با استفاده از تلسکوپ AIA به ترتیب از خطوط طیفی 193 \AA , 171 \AA , 304 \AA .



شکل ۳. تصویر گرفته شده در ۲۱ آگوست ۲۰۱۷ در کمینه فعالیت خورشیدی، با استفاده از تلسکوپ AIA، از خطوط طیفی 193\AA ، 171\AA ، 192\AA ، 304\AA .

کمینه فعالیت خورشیدی حدود ۱۰ مگا متر، در سال ۲۰۱۴ در حالت بیشینه فعالیت خورشیدی حدود ۵ مگا متر و در سال ۲۰۱۷ در کمینه فعالیت خورشیدی حدود ۷ مگا متر است.

شکل ۴ تفاوت پهنهای میانگین کروموسفر در چاله‌های کرونایی ناحیه قطب شمال را در سه زمان مختلف نشان می‌دهد. پهنهای کروموسفر با توجه به مقیاس طول مشخص شده در تصویر در سال ۲۰۱۰ در زمان



شکل ۴. تفاوت پهنه‌ای کروموسفر در چاله‌های کرونایی ناحیه قطب شمال. تصویر در ۱۱ ژولای ۲۰۱۰، ۰۲ ژوئن ۲۰۱۴، ۲۱ آگوست ۲۰۱۷ در طول موج 204 \AA با مقیاس طولی ۲۰ مگا متر (مشخص شده در تصویر)، گرفته شده است. برای بهبود نسبت سیگنال به نویز، شصت فریم متوالی با فاصله زمانی ۱۲ ثانیه جمع شده‌اند. برای حذف انحنای لبه خورشید مختصات دکارتی به مختصات قطبی کروی منتقل شده است.

گرفته شده در حالت بیشینه فعالیت خورشیدی در سال ۲۰۱۴ توسط رصدخانه SDO با استفاده از ابزار AIA در خط طیفی ۱۹۳ آنگستروم نشان داده شده است.

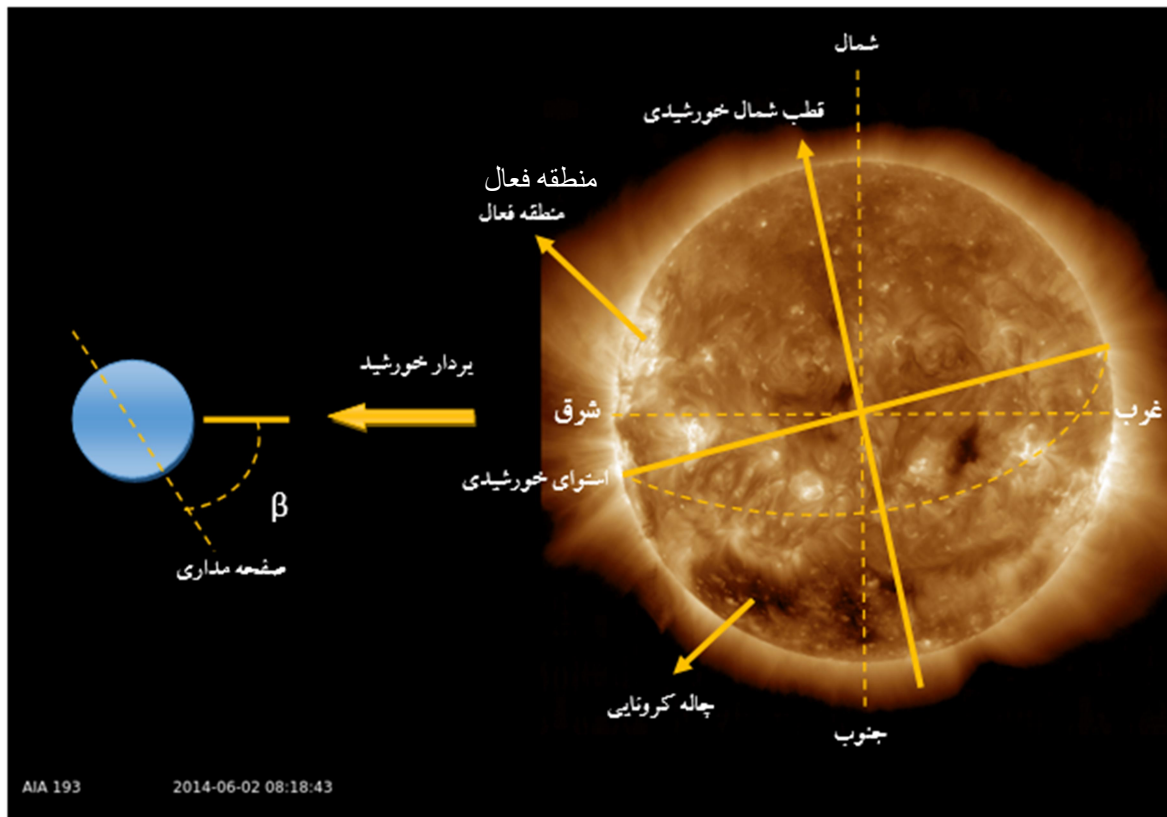
در شکل ۵ راستهای خورشیدی، استوای خورشید، مناطق فعال (نواحی روشن بر روی سطح خورشید)، چاله کرونایی و بردار خورشید به صورت فرضی بر روی تصویر

ابزار (BFI) از SOT از مأموریت هینوده (جدول ۱) انجام شد، انتخاب کردیم. همچنین از مجموعه‌ای از توالی‌های تصویر به دست آمده در خط نشری سرد هیدروژن CaII کروموسفری (یون‌ها با انرژی برانگیختگی پایین) استفاده کردیم. پس‌باند در طول موج $398/86$ نانومتر، متمرکز شده است. پهنا در نصف بیشینه (FWHM) 0.3 نانومتر و فاصله زمانی 20 ثانیه با زمان نورده 0.5 ثانیه استفاده شده است؛ از وضوح مکانی کامل داده شده SOT-هینوده با پراش در 0.16 ثانیه کمانی یا 120 کیلومتری خورشید (کوسوگی و همکاران، 2007) و مقیاس پیکسل سایز 0.0541 ثانیه کمانی (2015) استفاده شده است.

۲. روش پژوهش

هدف اصلی این مقاله تعیین خودبه‌خود و عینی زاویه شبی ظاهری اسپیکول‌ها، با استفاده از بهترین مشاهدات موجود بسیار پردازش شده، با تصویربرداری از لبه خورشید توسط تلسکوپ نوری خورشیدی با استفاده از فیلتر خط H CaII است (تی‌سونتا و همکاران، 2008 ، سوئاماتسو و همکاران، 2008 ، کوسوگی و همکاران، 2007). یک تکنیک برای تشخیص خودکار اسپیکول‌های خارج از لبه اجرا شد و اندازه‌گیری‌های آماری برای تعیین زاویه شبی برای اسپیکول‌ها در زوایای مختلف خورشیدمرکزی انجام شد.

ما پنج توالی از مشاهدات لبه خورشیدی را که در موقعیت‌های مختلف لبه با استفاده از فیلتر پهن باند



شکل ۵. الف) راستای قطب شمال خورشیدی به صورت فرضی بر روی تصویر خورشید، گرفته شده در 02 ژوئن 2014 در حالت بیشینه فعالیت خورشیدی توسط رصدخانه SDO با استفاده از ابزار AIA در خط طیفی 193 آنگستروم. در این تصویر نقاط روشن بر روی سطح خورشید مناطق فعال و نقاط تاریک‌تر چاله‌های کرونایی هستند. ب) بردار خورشید و زاویه β (زاویه بین بردار خورشید و صفحه مداری).

پیکسل را روی لبه خورشید نشان می‌دهند. به عنوان مثال موقعیت (الف) مربوط به تصویری است که در نیمکره شمالی خورشید و دارای مختصات $x = ۹۴۵$ و $y = ۹۴۵$ موقعیت (ب) مربوط به نیمکره جنوبی خورشید و دارای مختصات $x = ۶۷۱$ و $y = ۶۷۱$ می‌باشد و به همین ترتیب... (به صورت قراردادی راستای شمال و غرب را با اعداد مثبت و راستای جنوب و شرق را با اعداد منفی نشان می‌دهیم).

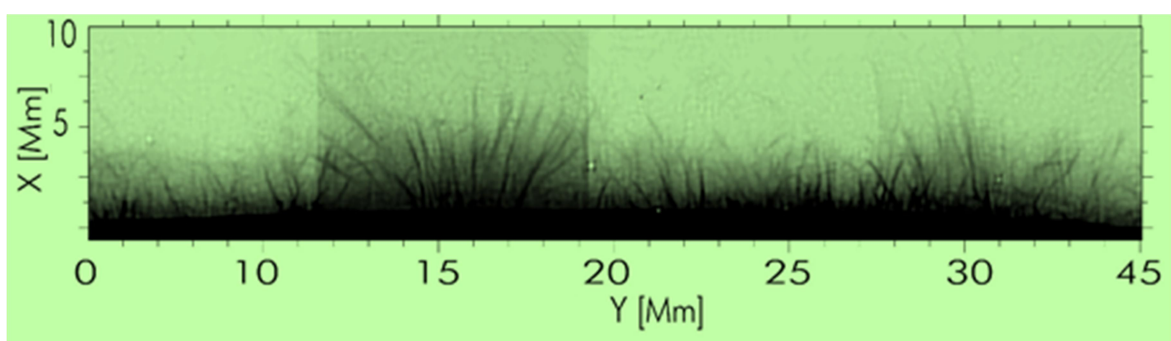
شکل ۶ نمونه‌ای از این پردازش را نشان می‌دهد که برای جلوگیری از اثرات غیرواقعی ناشی از فشرده‌سازی یا کالیبراسیون انجام شده است. برای تشخیص و ردیابی اسپیکول‌ها در دو بعد، ما یک روش را با مراحل زیر اعمال کرده و توسعه می‌دهیم: (۱) برای افزایش میدان دید اسپیکول‌ها، مقیاس لگاریتمی شعاعی اعمال شده است. (۲) برای افزایش ویژگی‌های خطی، از عملگر Mad-max استفاده شده است (کوچمی و کوچمی، ۱۹۸۹، توابی و همکاران، ۲۰۱۳). اپراتور Mad-max قصد دارد بر جستگی‌های درخشان مو مانند در مشاهدات نهایی خورشیدی همراه با نویز به دلایل مختلف را ردیابی کرده و وضوح را با فیلتر کردن غیرخطی داده‌ها بهبود بخشد. این اپراتور فضایی عمومی از مشتق دوم در راستای بهینه انتخاب شده، استفاده می‌کند که مقدار مطلق آن حداکثر مقدار را دارد (شکل ۶).

در اینجا اندازه هر تصویر استفاده شده 1024×512 pixels² است (هینوده فقط پیکسل‌های مرکزی آشکارساز بزرگ‌تر را بازخوانی می‌کند تا فاصله زمانی زیاد درون محدودیت‌های تله‌متری را حفظ کند)، بنابراین میدان دید (Field of view) ۵۶ ثانیه کمانی 111×111 ثانیه کمانی (هر ثانیه کمانی به طور میانگین معادل ۷۳۱ کیلومتر روز خورشید) را پوشش می‌دهد.

ما از برنامه معمول SOT "fg_prep" برای کاهش خیزک‌های تصویر و تأثیر لرزش و هم‌ترازی سری‌های زمانی استفاده کردیم (شیمیزو و همکاران، ۲۰۰۸). این سری‌های زمانی یک حرکت آهسته با سرعت متوسط کمتر از 0.015 ثانیه کمانی بر دقيقه به سمت شمال را نشان می‌دهد، همان‌طور که با حرکت لبه خورشید آرام نشان داده شده است.

یک پردازش تصویر سه‌بعدی برای بر جستگی‌های نخ مانند با استفاده از الگوریتم اصطلاحاً mad-max به دست می‌آید (کوچمی و کوچمی، ۱۹۸۹، توابی و همکاران، ۲۰۱۳)، برای مثال به شکل ۱ و پانل‌های بالای شکل ۷ و ۸ نگاه کنید.

جدول ۱ (ستون‌های اول و دوم) اطلاعات مربوط به تمام موقعیت‌ها و تاریخ‌هایی را نشان می‌دهد که در این مقاله استفاده شده است. در این جدول ستون موقعیت، مختصات X و Y به ترتیب موقعیت افقی و عمودی هر



شکل ۶. یک تصویر نگاتیو پردازش شده، گرفته شده در ۰۹ سپتامبر ۲۰۰۸؛ منطقه پرنگ در شکل ۸ نشان داده خواهد شد.

جدول ۱. پارامترهای مبتنی بر مشاهده.

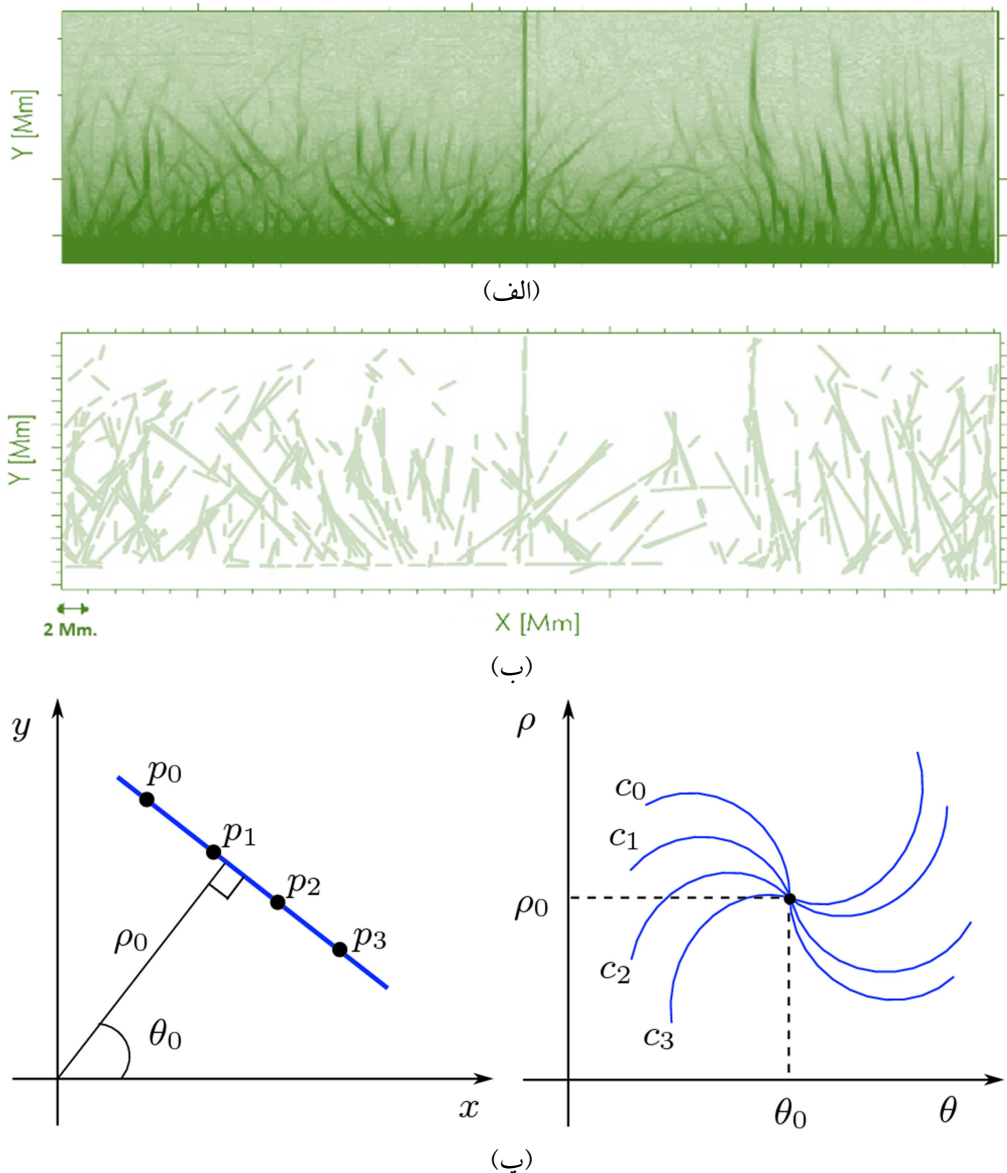
موقعیت	تاریخ	تعداد اسپیکول های شمرده شده	زاویه شبیب	توضیحات
شمال (الف) (۰،۹۴۵)	۲۰۰۷/۱۰/۲۱	۳۵	$\epsilon[-20^\circ, +20^\circ]$	خورشید آرام کمینه فعالیت
جنوب غربی(ب) (۶۷۱،-۷۱۶)	۲۰۰۸/۰۹/۰۹	۶۰	$\epsilon[-50^\circ, +50^\circ]$	خورشید آرام کمینه فعالیت
شمال غربی(پ) (۳۴۹،۸۳۹)	۲۰۰۷/۱۰/۲۵	۵۰	$\epsilon[-30^\circ, +60^\circ]$	نرديک ناحيه فعال کمینه فعالیت
شرق(ت) (-۹۴۴، ۰)	۲۰۰۷/۱۰/۲۲	۲۵	$\epsilon \pm 40^\circ$	خورشید آرام کمینه فعالیت
جنوب(ث) (۰،-۱۰۰۲)	۲۰۱۱/۰۶/۱۷	۳۰	$\epsilon \pm 10^\circ$	چاله کرونایی شعاعی بیشینه فعالیت

افزایش می دهد (ابتدا روی صفر تنظیم می شود) که در آن سلول های آرایه ماتریس انباست گر نشان داده شده با دوتایی (r, θ) برای هر پیکسل یافت می شود، خط راست را می توان به صورت $y_i = Rx_i + C$ توصیف کرد. این فرایند به نقطه (R,C) با تعریف (r, θ) اعتبار می بخشد. بلوک، این فرایند را برای هر پیکسل واقعی منطقی در تصویر تکرار می کند. هاف ماتریس انباست گر برایند را تولید می کند. اگر منحنی های مربوط به دو نقطه روی هم قرار بگیرند، موقعیت (در فضای هاف) جایی که محل عبور در فضای هاف مربوط به یک خط (در فضای اصلی تصویر) است، از هر دو نقطه عبور می کند. به طور کلی، مجموعه ای از نقاط که یک خط راست را تشکیل می دهند، سینوس هایی تولید می کنند که از پارامترهای آن خط عبور می کنند (شاپیرو و همکاران، ۲۰۰۱). تبدیل کلاسیک هاف به شناسایی خطوط در تصاویر مربوط بود؛ اما امروزه، استفاده از تبدیل هاف به شناسایی موقعیت های اشکال دلخواه، معمولاً حلقه ها و بیضی ها گسترش یافته است. بنابراین، این یک روش دقیق و قابل قبول برای یافتن تمام ساختارهای خطی است. برای واجد شرایط بودن آنها به عنوان یک اسپیکول، فرض می کنیم که باید بزرگ تر از ۲ باشند (۲۰ پیکسل برای تصاویر SOT).

ما از داده های خام استفاده می کنیم، اما هنوز هم برخی از پدیده های غیر واقعی مربوط به اندازه پیکسل ها و روش های تبدیل مشاهده می شوند. همچنین باید به نقص بازخوانی سی سی دی در نرديک مرکز فریم ها در شکل ۷ توجه داشت. بعد از این، زاویه میل ظاهری اسپیکول را با استفاده از تبدیل هاف در نظر می گیریم (هاف، ۱۹۶۲).

۳. نتایج

این بخش توصیف می کند که چطور از توابع تبدیل هاف برای تشخیص خطوط موجود در تصویر استفاده می شود. این روش تبدیل یک تکنیک استخراج مشخصه است که اجسام ناقص را در یک کلاس خاص از اشکال پیدا می کند. ساده ترین حالت تبدیل هاف، تبدیل خطی برای تشخیص خطوط راست است. تبدیل هاف، یک ماتریس انباست گر ایجاد می کند. جفت (r, θ) محل سلول را در ماتریس انباست گر نشان می دهد. هر پیکسل معتبر (منطقی) از تصویر دوتایی ورودی (x_i, y_i) نشان داده شده توسط (R,C) یک مقدار r برای همه مقادیر θ تولید می کند. این بلوک مقادیر r را به نرديک ترین عدد در بردار r نسبت می دهد. بردار r به اندازه تصویر ورودی و قدرت تفکیک r مشخص شده توسط کاربر بستگی دارد. این عملکر شمارنده، تعداد را



شکل ۷. (الف) تصویر نگاتیو و پردازش شده، گرفته شده در تاریخ ۱۷ ژوئن ۲۰۱۱؛ ب) نتیجه ردیابی خط با استفاده از تبدیل هاف. خط تیره عمودی در وسط حاصل سیستم بازخوانی سی‌سی‌دی است و پ) مختصات تصویر در تبدیل هاف. تبدیل هاف تکنیکی برای استخراج ویژگی است که به وسیله آن شکل‌های ساده مانند خط و دایره در یک تصویر تشخیص داده می‌شوند. معادله یک خط در مختصات قطبی به صورت $\rho_0 = x \cos \theta_0 + y \sin \theta_0$ تعریف می‌شود که در این رابطه، ρ_0 برابر با فاصله عمودی خط از مبدأ بر حسب پیکسل و θ_0 زاویه خط با مبدأ است که بر حسب رadian اندازه‌گیری می‌شود. هر نقطه از خط در فضای تصویر با یک منحنی در فضای هاف مطابقت دارد. محل تلاقی منحنی‌ها در فضای هاف همان خط در فضای تصویر است.

اسپیکول‌ها را ردیابی کنیم که هنگام ارزیابی با استفاده از تصویر mad-maxed و داده‌های تبدیل هاف، دیده می‌شوند. در تبدیل هاف، این نرخ با تغییر سایز تقسیم‌بندی، برای توصیف بر جستگی‌ها به عنوان اسپیکول قابل افزایش است. اسپیکول‌ها به عنوان بر جستگی‌های روشن و مستقیم با طول بیش از دو ثانیه کمانی (حدود ۲۰

شکل ۷ و ۸ نتیجه تقسیم خط را با استفاده از تبدیل هاف نشان می‌دهد. همچنین در شکل ۸ زاویه‌ای که اسپیکول‌های ردیابی شده با استفاده از این تبدیل با بردار نرمال بر سطح، یعنی بردار عمود بر لبه خورشید (در راستای ساعی) می‌سازند با θ_0 نشان داده شده است. با استفاده از تبدیل هاف، می‌توانیم بیش از ۷۰ درصد از

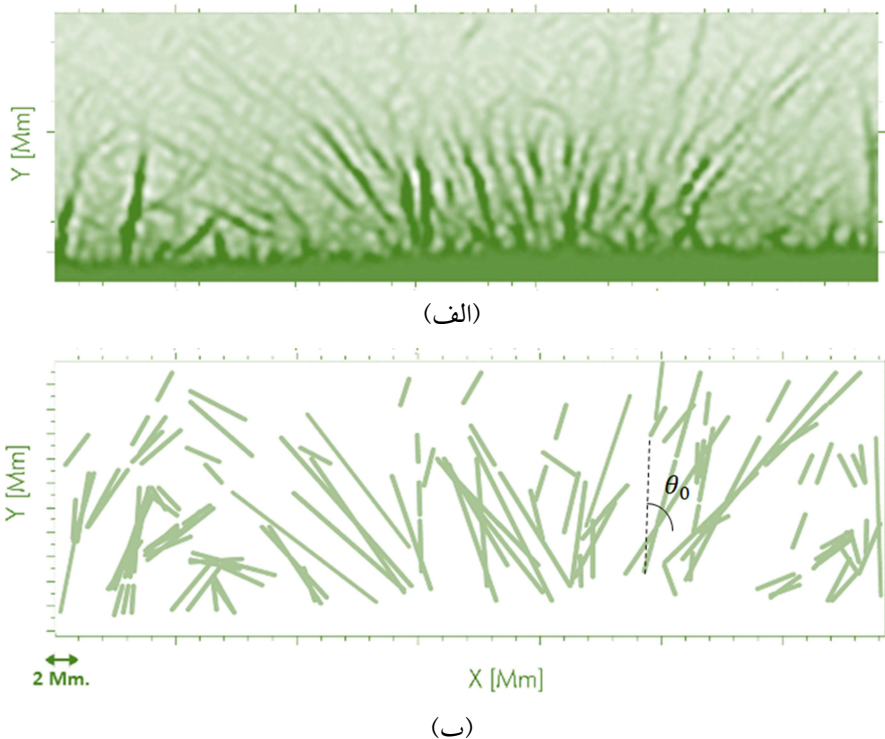
مرادیان (۱۹۹۲) از نوع تحلیل یک روش پدیده‌شناسی آماری است. اسپیکول‌های خورشید آرام در عرض جغرافیایی پایین‌تر در راستایی به سمت استوای خورشیدی متماطل شده‌اند. این رفتار توسط هریستچی و مرادیان (۱۹۹۲) گزارش شده است و برای اسپیکول‌های غول‌پیکر، این گرایش خیلی پیش‌تر در مقاله اولیه رابرتر (۱۹۴۵) و بعدها توسط کوچمی و لوسيف (۱۹۹۱) گزارش شده است. با اين حال، پاساخوف و همکاران (۲۰۰۹) نتوانستند چنین همبستگی را پیدا کنند. در اين مطالعه، متوجه شدیم که اين تأثير به سطح فعالیت ناحیه نزدیک به عنوان مثال در شمال شرقی در شکل ۱۲ بستگی دارد. يك تفاوت معنی‌دار بین دو راستای مخالف به‌دلیل وجود مناطق فعال مشاهده شد. برای تأیید این تأثیر، به يك میدان دید بزرگ‌تر نیاز داریم. همچنین ماتریس تبدیل هاف تخمینی تقریبی از تعداد اسپیکول‌های آشکارسازی‌شده (یا خطوط راست) بالای تصویر را به ما می‌دهد (جدول ۱، ستون ۳ و نوار رنگی مربوط به هر طرح).

پیکسل) و عرض حداقل ۴ پیکسل تعريف شده‌اند. با استفاده از این مقادیر، ما به يك سطح معمول دقت حدود ۷۰ درصد دست یافتیم؛ اگرچه در مواردی، در نقاط عبور، چنین دقتی حاصل نمی‌شود. مقدار متوسط طول اسپیکول حدود ۵۰۰۰ تا ۱۰۰۰۰ کیلومتر است و عرض آنها بسیار گسترده است (در توافق نزدیک با توابی و همکاران، ۲۰۱۱).

توزيع زاویه شب اسپیکول‌های نوعی خط H کلسیم دobar یونیده در هر دو جهت چپ و راست از راستای نرمال (شعاعی)، با مقدار مطلق حدود ۵۰ درجه یکسان است. این رفتار توسط ردبایی اسپیکول با استفاده از تبدیل هاف در شکل ۸ نشان داده شده است و ماتریس تبدیل هاف نشان‌دهنده زاویه شب مساوی از نظر آماری است (رنگ قرمز در صفحه ب از شکل ۹).

۴. بحث

نتایج به‌دست‌آمده درواقع در توافق کلی با توصیف ارائه‌شده در پاساخوف و همکاران (۲۰۰۹) و هریستچی و



شکل ۸ (الف) تصویر نگاتیو و پردازش شده، گرفته شده در تاریخ ۰۹ سپتامبر ۲۰۰۸ (فریم فرعی و بخش پرزنگ در شکل ۷)؛ (ب) نتیجه ردبایی خط با استفاده از تبدیل هاف و θ_0 زاویه میل اسپیکول. بوتهای از اسپیکول‌ها در تصویر نمایش داده شده است.

هارمونیک‌های کروی هشت‌ضلعی بسته است (فیلیوف، ۲۰۰۸). ساختار کوچک‌مقیاس میدان مغناطیسی در دو ناحیه شبیه به هم نیست. ساختار ریز واقعی میدان مغناطیسی قطبی هنوز دست‌نیافتنی است. تردیدهای زیادی وجود دارد که شباهت زیادی به ساختار ریز میدان مغناطیسی درون چاله‌های کرونایی دارد که گاهی در عرض‌های جغرافیایی کم مشاهده می‌شود. در اینجا ما نتیجه تجزیه و تحلیل پارامتر دیگری را که به جهت میدان مرتبط است، اضافه می‌کنیم که نشان می‌دهد هم کشیده‌شدگی و هم‌جهت‌ها با هم مرتبط هستند (هر چقدر راستای اسپیکول به راستای شعاعی خورشید نزدیک‌تر باشد، اسپیکول بلندتر به نظر می‌رسد).

مشاهدات فضایی اخیر این پیشنهادات اولیه را تأیید و اثبات می‌کند (دیپونتیو و همکاران، ۲۰۰۷). مور و همکاران (۲۰۱۵) با در نظر گرفتن جت‌های بالا، با شروع از ماکرواسپیکول‌هایی که در خط نشری ۳۰۴ آنگستروم He II مشاهده می‌شود، به شکل ۸ نگاه کنید. حتی رویدادهای فوران لبه EUV توابی و همکاران (۲۰۱۵) می‌تواند در این تحلیل گنجانده شود.

شکل ۱ نشان داد که این یک سؤال پیچیده است زیرا روابط بین اجزای درهم‌آمیخته در دماهای مختلف روش نیست. این مسئله نیاز به تجزیه و تحلیل بیشتری دارد که در مقاله آینده بررسی خواهد شد.

در آخر، باید توجه داشت که به نظر می‌رسد کشش قطبی با کاهش گرمای ورودی به کروموسفر در چاله‌های کرونایی قطبی، کاهش می‌یابد. اتمسفر خورشید آرام در استوا در مقایسه با خورشید فعال، بدون در نظر گرفتن مقدار پرانژی‌ترین رویدادهای نوع انفجاری که در مناطق قطبی نیز ثبت شده است، قابل قیاس است (شکل ۵-۵). وسط).

۵. نتیجه‌گیری

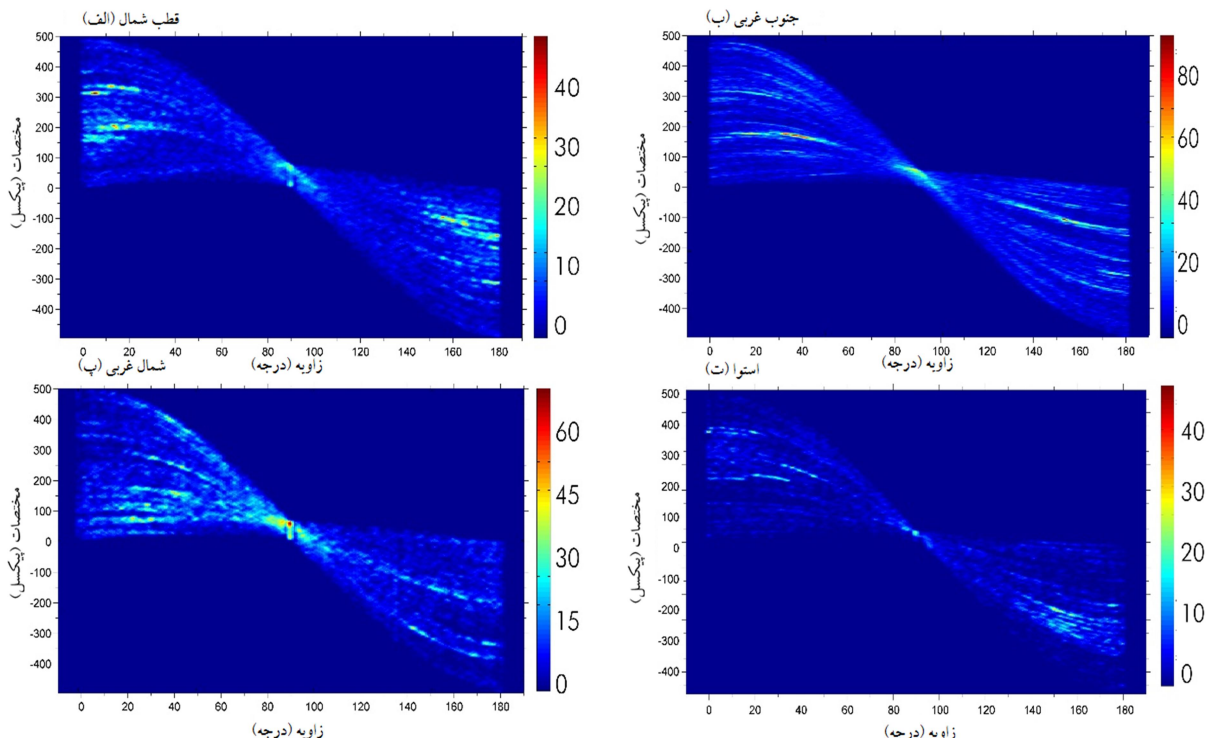
ما جزئیات بیشتر زاویه میل ظاهری اسپیکول‌ها را بررسی کردیم و مقادیر میانگین آماری را برای موقعیت‌های

کروموسفر خورشیدی بالای ۱/۵ مگا متر یا حتی کمتر، یک اتمسفر لایه‌ای نیست، همان‌طور که در مدل‌های اتمسفری هیدرواستاتیک کلاسیک جوی فرض شده است؛ به عنوان مثال می‌توان به بازین و کوچمی (۲۰۱۳) مراجعه کرد. لبه بالایی کروموسفر که با وضوح متوسط در خطوط نشری کروموسفری قوی دیده می‌شود نسبتاً تار است زیرا از مخلوط تعداد زیادی از اسپیکول‌های دینامیکی جت‌مانند و پلاسمای کرونایی بین آنها تشکیل شده است. تا آنچاکه ما می‌دانیم، لایه کروموسفر عمده‌تاً با اسپیکول‌ها یا جت‌ها پر شده است و ضخامت کروموسفر دامنه گسترده‌ای از تغییرات از قطب تا استوا و از خورشید آرام تا فعال در طول چرخه خورشیدی را نشان می‌دهد که توسط تعدادی از محققان گزارش شده است (اوچر و همکاران، ۱۹۹۸؛ ژانگ و همکاران، ۱۹۹۸؛ فیلیوف و کوچمی، ۲۰۰۰). آنها پیشنهاد کردند که برآمدگی لبه در کروموسفر ممکن است به دلیل وجود اسپیکول‌های نشان داده شده در خطوط نشری کم تحریک باشد، بدین ترتیب مسئله جت‌های EUV بسیار گرم‌تر و ماکرواسپیکول‌ها باز گذاشته شد (شکل ۹). بسیاری از مشاهدات گذشته نشان داد که در دوران کمینه فعالیت خورشیدی، گسترش کروموسفر نزدیک قطب‌ها به طور سیستماتیک بالاتر از استوا است (سکچی، ۱۸۷۷؛ رابرتر، ۱۹۴۵؛ اوچر و همکاران، ۱۹۹۸؛ جوهانسون و زیرین، ۱۹۹۶؛ فیلیوف و کوچمی، ۲۰۰۰).

میزان کشیده‌شدگی یا پخیدگی به رفتار اسپیکول‌ها و احتمالاً ماده بین اسپیکول‌ها بستگی دارد؛ به فیلیوف و کوچمی (۲۰۰۰) و فلیپوف و همکاران (۲۰۰۷) مراجعه کنید. اختلاف در ارتفاع کروموسفرهای قطبی و استوایی به دلیل تفاوت در ساختار میدان‌های مغناطیسی قطبی و نواحی جغرافیایی در عرض پایین به وجود می‌آید. مشهور است که میدان مغناطیسی بزرگ‌مقیاس در مناطق قطبی در حداقل لک خورشیدی عمده‌تاً باز است، در حالی که در منطقه استوایی، اساساً با توجه به غلبه دوقطبی کروی و

ناحیه فعال خورشیدی، طیف وسیعی از تغییرات زاویه ظاهری را از -60° تا $+60^{\circ}$ درجه شاهد هستیم که شباهت زیادی به نواحی بین گرانولی دارد که از لکه‌های تیره و فیبریلزها در برجستگی‌های روی دیسک خورشیدی ساخته شده‌اند.

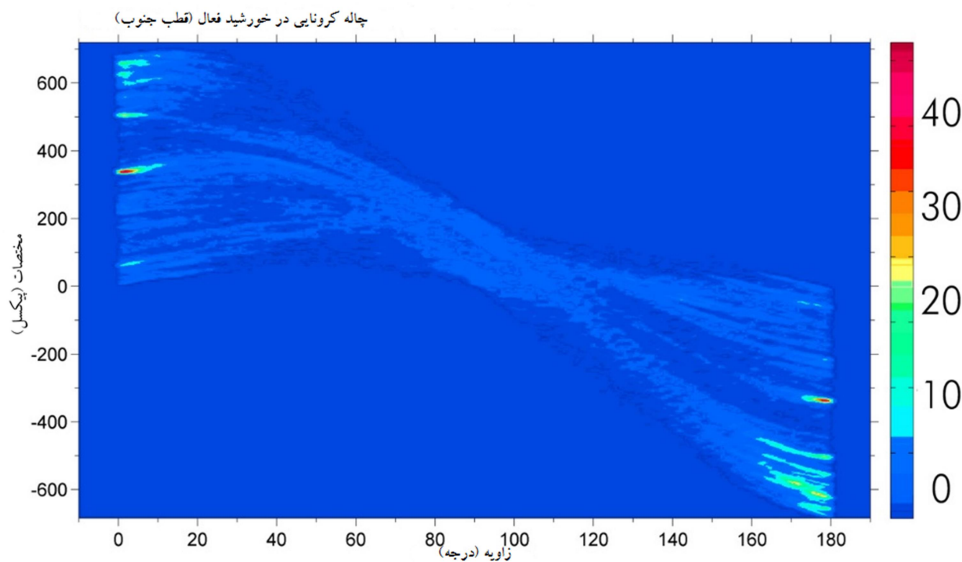
علاوه بر این، تفاوت قابل توجهی بین ناحیه قطبی خورشید آرام (سال‌های ۲۰۰۸ تا ۲۰۰۹) در شکل ۹ و ناحیه چاله کروناوی خورشید فعال (۲۰۱۱ مشاهده می‌شود (شکل ۱۰). زمانی که زاویه β خورشیدی (زاویه بین بردار خورشید و صفحه مداری) مقدار بزرگی دارد، لایه‌های چاله کروناوی قابل مشاهده‌ای ایجاد می‌کند (شکل ۷). در این شکل، اسپیکول‌ها بلندتر و اغلب شعاعی هستند. به علاوه، تعدادی حلقه‌های کوچک نیز در پایین آشکارسازی شد.



شکل ۹. ماتریس تبدیلات هاف برای موقعیت‌های مختلف خورشیدمرکزی در جدول ۱ برای دوره کمینه فعالیت خورشیدی (سال‌های ۲۰۰۷ و ۲۰۰۸) خلاصه شده است. محور X زاویه میل را نشان می‌دهد. محور قائم اسپیکول‌ها از گوش سمت چپ تصویر را نشان می‌دهد (شکل ۷-ب) که نقطه مرجع تصویر (0° و 180°) در مختصات دکارتی است. نوارهای رنگی سمت راست تعداد متناظر با اسپیکول‌های آشکارسازی شده را نشان می‌دهد.

مختلف، اطراف لبه خورشیدی برای زاویه شیب بررسی کردیم. نتایج در جدول ۱، شامل چهار موقعیت مختلف در کمینه فعالیت خورشیدی، خلاصه شده است. عنصر ماتریس هاف در شکل ۹ رسم شده‌اند.

نتایج، اختلاف زیادی میان زاویه‌های شیب ظاهری اسپیکول در (۱) نواحی قطب خورشیدی، (۲) نواحی استوایی، (۳) نواحی فعال و (۴) نواحی چاله کروناوی نشان می‌دهد. اسپیکول‌ها در راستای شعاعی در مناطق قطبی با زوایای شیب کوچک‌تر از 20° درجه قابل مشاهده هستند. در داخل چاله کروناوی با خطوط میدان مغناطیسی باز، زاویه شیب حتی تا 12° درجه کاهش می‌یابد. در عرض‌های جغرافیایی پایین‌تر، زوایای شیب به مقدار بیش از 50° درجه نیز می‌رسد. معمولاً در اطراف یک



شکل ۱۰. ماتریس تبدیل هاف برای چاله کرونایی قطب جنوب، ۱۷ ژوئن ۲۰۱۱ (طی بیشینه فعالیت خورشیدی) مربوط به آخرین ردیف داده (ث) که در جدول ۱ نشان داده شده است.

(انگلیس) به عنوان شرکای بین‌المللی هستند. از پروفسور علی عجب‌شیری‌زاده نیز برای مباحث معنی‌دار تشکر می‌کنیم.

مراجع

- Athay, G., 1986, Physics of the Sun, ed. Sturrock, P. A., Vol. II: The solar atmosphere.
 Auchere, F., Boulade, S., Koutchmy, S., Smartt, R. N., Delaboudinie, J. P., Georgakilas, A., Gurman, J. B. and Artzner, G. E., 1998, The prolate solar chromosphere. *A & A*, 336L, 57.
 Bazin, C. and Koutchmy, S., 2013, Helium shells and faint emission lines from slitless flash spectra. *Journal of Advanced Research*, 4(3), 307–313.
 Beckers, J.M., 1968, Solar spicules. *Solar Phys.*, 3, 367-433.
 De Pontieu, B., Erdelyi, R. and James, S.P. (2004). Solar chromospheric spicules from the leakage of photospheric oscillations and flows, *Nature*, 430, 536-539.
 De Pontieu, B., McIntosh, S.W., Carlsson, M., Hansteen, V. H., Tatrbell, T. D., Schrijver, C. J., Title, A. M., Shine, R. A., Tsuneta, S., Katsukawa, Y., Ichimoto, K., Suematsu, Y., Shimizu, T. and Nagata, S., 2007, Chromospheric Alfvénic Waves Strong Enough to Power the Solar Wind, *Science*, 318, 1574-1577
 Filippov, B., 2008, private communication.
 Filippov, B. and Koutchmy, S., 2000, On the

تشکر و قدردانی
 ما از گروه هینوده به مخاطر مشاهدات فوق‌العاده‌شان سپاسگزاریم. هینوده یک مأموریت ژاپنی است که توسط NAOJ توسعه یافته و راهاندازی شده است، ISAS/JAXA به عنوان یک شریک داخلی و STFC و NASA و ESA

- Origin of the Prolate Solar Chromosphere, *Solar Phys.*, 196, 311- 320.
 Filippov, B., Koutchmy, S. and Vilinga, J., 2007, On the dynamic nature of the prolate solar chromosphere: jet formation, *A&A*, 464, 1119- 1125.
 Filippov, B., Koutchmy, S. and Tavabi, E., 2013, Formation of a White-Light Jet Within a Quadrupolar Magnetic Configuration, *Solar Phys.*, 286, 143-156.
 Goodarzi, H., Koutchmy, S. and Ajabshirzadeh, A., 2015, Improved SOT (Hinode mission) high resolution solar imaging observations, *Astrophysics and Space Science*, 358, 13.
 Heristchi, D. and Mouradian, Z., 1992, On the Inclination and the Axial Velocity of Spicules. *Solar Phys.*, 142, 21-34.
 Johannesson, A. and Zirin, H., 1996, The Pole-Equator Variation of Solar Chromospheric Height, *The Astrophysical Journal*, 471, 510- 520.
 Koutchmy, O. and Koutchmy, S., 1989, High Spatial Resolution Solar Observations, Proc. of the 10th Sacramento Peak Summer Workshop, 217.
 Koutchmy, S. and Loucif, M. L., 1991,

- Mechanisms of Chromospheric and Coronal Heating, ed. P. Ulmschneider, E. R. Priest, & R. Rosner (Berlin:Springer-Verlag), 152-158.
- Koutchmy, S., Hara, H., Shibata, K., Suematsu, Y. and Reardon, K., 1998, Observational Plasma Astrophysics: Five Years of Yohkoh and Beyond, 87- 94.
- Kosugi, T., Matsuzaki, K., Sakao, T., Shimizu, T., Sone, Y., Tachikawa, S., Hashimoto, T., Minesugi, K., Ohnishi, A., Yamada, T., Tsuneta, S., Hara, H., Ichimoto, K., Suematsu, Y., Shimojo, M., Watanabe, T., Shimada, S., Davis, J. M., Hill, L. D., Owens, J. K., Title, A. M., Culhane, J. L., Harra, L. K., Doschek, G. A. and Golub, L., 2007, The Hinode (Solar-B) Mission: An Overview, *Solar Phys.*, 273, 3-17.
- Lorrain, P. and Koutchmy, S., 1998, Chromospheric heating by electric currents induced by fluctuating magnetic elements. *Solar Phys.*, 178, 39-42.
- Moore, R. L., Sterling, A.C. and Falconer, D.A., 2015, Magnetic untwisting in solar jets that go into the outer corona in polar coronal holes. *The Astrophysical Journal*.
- Mosher, J. M. and Pope, T. P., 1977, A statistical study of spicule inclinations. *Solar Phys.*, 53, 375-384.
- Mouradian, Z., 1965, Contribution a l'étude du Bord Solaire et de la Structure chromosphérique. *Annales d'Astrophysique*, 28, 805.
- Pasachoff, J.M., William, A.J. and Sterling, A.C., 2009, Limb Spicules from the Ground and from Space. *Solar Phys.*, 260, 59-82.
- Roberts, W. O., 1945, A Preliminary Report on Chromospheric Spicules of Extremely Short Lifetime. *ApJ*, 101, 136.
- Secchi, S. J., 1877, Le Soleil. Gauthier-Villars, 38.
- Shimizu, T., Nagata, S., Tsuneta, S., Tarbell, T., Edwards, C., Shine, R., Hoffmann, C., Thomas, E., Sour, S., Rehse, R., Ito, O., Kashiwagi, Y., Tabata, M., Kodeki, K., Nagase, M., Matsuzaki, K., Kobayashi, K., Ichimoto, K. and Suematsu, Y., 2008, Image Stabilization System for Hinode (Solar-B) Solar Optical Telescope. *Solar Phys.*, 249, 221-232.
- Shapiro, L. and Stockman, G., 2001, Computer Vision, Prentice-Hall, Inc.
- Sterling, A.C., 2000, Solar Spicules: A Review of Recent Models and Targets for Future Observations – (Invited Review), *Solar Phys.*, 196, 79-111.
- Suematsu, Y. and Takeuchi, A., 1991, Flare Physics in Solar Activity Maximum 22, Proceedings of the International SOLAR-A Science Meeting Held at Tokyo, Japan, 23-26 October 1990, Lecture Notes in Physics, 387, 259.
- Suematsu, Y., Ichimoto, K., Katsukawa, Y., Shimizu, T., Okamoto, T., Tsuneta, S., Tarbell, T. and Shine, R. A., 2008, High Resolution Observations of Spicules with Hinode/SOT. *Astronomical Society of the Pacific*, 397, 27.
- Sterling, A. C., Moore, R.L., Falconer, D.A. and Adams, M., 2015, Small-scale filament eruptions as the driver of X-ray jets in solar coronal holes. *Nature*, 523, 437-440.
- Tavabi, E., Koutchmy, S. and Ajabshirzadeh, A., 2011a, A Statistical Analysis of the SOT-Hinode Observations of Solar Spicules and Their Wave-Like Behavior. *New Astronomy*, 16, 296-305.
- Tavabi, E., Koutchmy, S. and Ajabshirzadeh, A., 2011b, Contribution to the Modeling of Solar Spicules. *Advances in Space Research*, 47, 2019-2029.
- Tavabi, E., Koutchmy, S. and Ajabshirzadeh, A., 2013, Increasing the Fine Structure Visibility of the Hinode SOT Ca II H Filtergrams. *Solar Phys.*, 283, 187-194.
- Tavabi, E., Koutchmy, S. and Golub, L. (2015). Limb Event Brightenings and Fast Ejection Using IRIS Mission Observations. *Solar Phys.*, 290, 2871-2877.
- Tsuneta, S., Ichimoto, K., Katsukawa, Y., Nagata, S., Otsubo, M., Shimizu, T., Suematsu, Y., Nakagiri, M., Noguchi, M., Tarbell, T., Title, A., Shine, R., Rosenberg, W., Hoffmann, C., Jurcevich, B., Kushner, G., Levay, M., Lites, B., Elmore, D., Matsushita, T., Kawaguchi, N., Saito, H., Mikami, I., Hill, L. D., Owens, J. K. (2008). The Solar Optical Telescope for the Hinode Mission: An Overview. *Solar Phys.*, 249, 167-196.
- Van de Hulst, H. C. (1953). *The Sun* Edited by Gerard P. Kuiper. Chicago: The University of Chicago Press, 207.
- Wilhelm, K., Abbo, L., Auchère, F., Barbey, N., Feng, L., Gabriel, A. H., Giordano, S., Imada, S., Llebaria, A., Mattheus, W. H., Poletto, G., Raouafi, N. E., Suess, S. T., Teriaca, L., Wang, Y.M. (2011). Morphology, Dynamics and Plasma Parameters of Plumes and Inter-Plume Regions in Solar Coronal Holes. *The Astronomy and Astrophysics Review*, 19(1), 35.
- Zhang, J.,White, S. M. & Kundu, M. R. (1998). The Height Structure of the Solar Atmosphere from the Extreme-Ultraviolet Perspective. *The Astrophysical Journal*, 504, L127- L130.

Statistical Analysis of Spicule Inclinations and chromosphere thickness variations

Mollatayefeh, A.¹ and Tavabi, E.^{2*}

1. Ph.D. Student, Department of Physics, Payame Noor University (PNU), Tehran, Iran

2. Associate Professor, Department of Physics, Payame Noor University (PNU), Tehran, Iran

(Received: 26 Aug 2021, Accepted: 4 Oct 2022)

Summary

Spicules are intermittently rising above the surface of the Sun eruptions; EUV jets are now also reported immediately above surface layers. The orientation of spicules is a valuable parameter in the absence of direct magnetic field measurements with a sufficient spatial resolution in the chromospheric region because it is presumably determined by the confined flow of plasma, which should occur along the magnetic field lines, especially where the solar magnetic field pressure dominates the gas pressure. Of course, all these measurements suffer from the overlapping effect of spicules seen along each line of sight, the effect of which will be more critical when we look near the solar limb. In the case of macrospicules as well imaged by AIA of the SDO mission using the 304 filter recording the emissions of the HeII, resonance line, an additional effect arises due to the optical thickness of the line, especially on disk and also above the limb in the inner chromospheric shell.

The primary purpose of this paper is to determine automatically and objectively the apparent tilt angle of spicules, using the best available highly processed observations, from the Solar Optical Telescope (SOT) limb imaging experiment by using an H CaII line, onboard Hinode mission. Furthermore, the Hough transform is applied to the resulting images for making a statistical analysis of spicule orientations in different regions around the solar limb, from the pole to the equator. A technique for the automatic detection off-limb spicules was implemented, and statistical measurements were conducted to determine the tilt angle for spicules at different heliocentric angles.

We apply and develop a method with the following steps: (1) To increase the visibility of spicules, a radial logarithmic scale is applied; (2) To enhance linear features, while the Madmax operator is used. We investigated in more detail the apparent inclination of spicules and found the statistically average values for different locations around the solar limb for tilt angle. The results show a large difference of spicule apparent tilt angles in (i) the solar pole regions, (ii) the equatorial regions, (iii) the active regions, and (iv) the coronal hole regions. Analytically, during the minimum solar magnetically activity, from the equator to the poles, the inclination angles of the spicules are getting smaller and their lengths increase. As a result, the chromosphere thickness in this case is thicker than that of the solar maximum activities. When the spicules in the polar coronal holes are significantly inclined, the chromosphere and even transition regions thickness is thinner. Numerically, spicules are visible in a radial direction in the polar regions with a tilt angle <200 . The tilt angle is even reduced to 10 degrees inside the coronal hole with open magnetic field lines and at the lower latitude, the tilt angle reaches values over 50 degrees. Usually, around an active region, they show a wide range of apparent angle variations from -60 to +60 degrees, which is in close resemblance to the rosettes that are made of dark mottles and fibrils in projection on the solar disk. However, large-scale activities with short life-time do not play a significant role in the thickness of the chromosphere, and they are removed for long term measurements by averaging. Therefore, this study considers the most statistical population of spicules in the minimum (and maximum) solar activity in the polar regions, and in lower latitude, to be considered as their inclination angles. While at the maximum laps of solar cycle, the opposite result will be expected, and fully confirmed, and give us a topological reason for the chromospheric prolateness at minimum activities.

Keywords: chromosphere, solar corona, coronal hole, solar cycle, chromosphere prolateness, Hough Transform.

* Corresponding author:

e_tavabi@pnu.ac.ir